

# 一维摩擦喷管流动

常显奇

## 摘要

本文阐述了一维摩擦喷管流动控制方程的数值求解方法，分析研究了摩擦对喷管流场及发动机性能的影响。确定边界条件时考虑了燃烧室工作过程。并给出了计算例题。

## 符号表

|  |          |            |             |
|--|----------|------------|-------------|
| A  | 通道横截面积   | n          | 压力指数        |
| $A_Q$  | 功热当量     | P          | 压力          |
| $A_b$  | 装药燃烧面积   | $P_s$      | 滞止压力        |
| b  | 燃速系数     | $P_0$      | 等熵流动滞止压力    |
| f  | 摩擦系数     | $P_c$      | 考虑摩擦时的燃烧室压力 |
| g  | 重力加速度    | R          | 气体常数        |
| G  | 等熵流流量    | T          | 温度          |
| $G_f$  | 考虑摩擦时的流量 | $T_0$      | 装药燃烧温度      |
| H  | 1公斤燃气的焓  | x          | 轴向坐标        |
| k  | 比热比      | y          | 通道半径        |
| M  | 气流马赫数    | v          | 流速          |
| $\bar{M}$  | 燃气平均分子量  | D          | 通道直径        |
| $\alpha$   | 扩张半角     | $\rho$     | 密度          |
| $\beta$  | 收敛半角     | $\rho_t$   | 喷管喉部壁的曲率半径  |
| $\Gamma$   | 比热比k的函数  | $\gamma_p$ | 推进剂比重       |
| $\Gamma = \sqrt[k]{\frac{2}{k+1}} \left( \frac{2}{k+1} \right)^{\frac{k+1}{2(k-1)}}$ |          |            |             |

## 下标

|   |        |    |        |
|---|--------|----|--------|
| t | 喷管几何喉部 | cr | 临界截面参数 |
| c | 喷管入口   | e  | 喷管出口   |

## 一、引言

燃烧产物在喷管中流动，由于粘性，它与喷管壁间存在摩擦。特别是对膨胀比大的（因而是较长的）喷管，摩擦的影响变得很重要。但在讨论摩擦对喷管性能的影响时，当前的教科书均只作了定性分析。

摩擦对喷管的流场、排气速度及秒流量有何影响？对燃烧室压力有何影响？对固体发动机的比冲、推力等性能参数有何影响？如何减少摩擦损失？本文在一维摩擦喷管流动基本方程的基础上，详细讨论了数值求解的方法，通过理论分析，较好地回答了上述问题。这对于预估固体火箭发动机的性能是有益的。

## 二、控制方程

假设：

1. 燃烧产物是成份冻结的理想气体；
2. 流动是一维定常的；
3. 与喷管壁间没有热量交换。

考虑摩擦时燃气在喷管中运动的基本方程是：

$$\text{连续方程} \quad d(\rho v A) = 0 \quad (1)$$

$$\text{动量方程} \quad v dv = -\frac{1}{\rho} dp - f \frac{v^2}{2} \frac{dx}{D} \quad (2)$$

$$\text{能量方程} \quad d\left(H + A_Q \frac{v^2}{2g}\right) = 0 \quad (3)$$

$$\text{状态方程} \quad P = \rho g R T \quad (4)$$

局部壁面的摩擦系数[2]

$$f = 5.5 \times 10^{-3} \left[ 1 + \left( 2 \times 10^4 \frac{K}{D} + \frac{10^6}{R_e} \right)^{\frac{1}{3}} \right] \quad (5)$$

式中，雷诺数  $R_e$  根据喷管的当地直径  $D$  和当地气流参数计算

$$R_e = \frac{\rho v D}{\mu}$$

燃气的粘性系数[3]

$$\frac{dM^2}{dx} = \frac{2}{1 - M^2} \left( \frac{kM^2 f}{D} - \frac{2}{A} \frac{dA}{dx} \right) \quad (7a)$$

$$\left. \begin{aligned} \frac{T_o}{T} &= 1 + \frac{k-1}{2} M^2 \\ v &= M \sqrt{k g R T} \end{aligned} \right\}$$

### 三、计算方程

方程(7a)在  $M = 1$  处是奇异的。为了求得数值解，必须克服方程的奇异性。

引入新的变量  $Z$

$$Z = (1 - M^2)^2 \quad (8)$$

则

$$M^2 = 1 \pm \sqrt{Z} \quad (9)$$

亚音速流动 ( $M < 1$ ) 时，我们取“-”号；超音速流动 ( $M > 1$ ) 时取“+”号；当  $M = 1$  时， $Z = 0$ ，“±”号可任取。

从而(7a)式转为

方程(10)与(7b)组成了计算方程组。

### 四、喉部条件

方程(7a)与(7b)中共有七个未知数： $M, T, v, \rho, G_f, P, P_s$ 。但只有六个方程，为了求得数值解，还必须补充一个方程。

由(1)~(4)式可导得

$$(M^2 - 1) \frac{dv}{v} = \frac{dA}{A} - \frac{kM^2 f}{2D} dx \quad (11)$$

可见，在  $M = 1$  处

$$\frac{1}{A} \frac{dA}{dx} = \frac{kf}{2D} \quad (12)$$

此式称为喉部条件，即我们所需要的一个补充方程。显而易见，考虑摩擦时，喷管的临界截面 ( $M = 1$ ) 不在几何喉部处，而是位于  $\frac{dA}{dx} > 0$  的喷管几何喉部下游的扩张段中。

将(12)式代入(10)式，得到  $M = 1$  时， $\frac{dz}{dx} = 0$ 。

计算中，我们就用喉部条件来确定通过喷管的秒流量。如果给定流量下所得到的方程的解满足(12)式，则该流量就是控制方程的解；否则，应改变流量重新计算。

如图 1 所示，对于几何喉部采用圆弧过度的喷管，当  $x_t \leq x < x_2$  时，

$$y = (\rho_t + y_t) - \sqrt{\rho_t^2 - (x - x_t)^2}, \quad \frac{dy}{dx} = \frac{x - x_t}{\sqrt{\rho_t^2 - (x - x_t)^2}},$$

而

$$\frac{1}{A} \frac{dA}{dx} = \frac{2}{y} \frac{dy}{dx},$$

故由(12)式可求得考虑摩擦时喷管临界截面的位置

$$x_{cr} = x_t + \frac{\rho_t}{\sqrt{1 + \frac{64}{k^2 f^2}}} \quad (13)$$

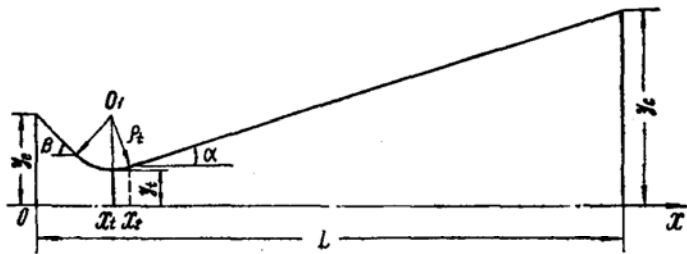


图1 喷管型面

## 五、边界条件

为了数值求解方程(10)，必须给定边界条件，即喷管入口处燃气的流动参数。

对于不计摩擦的等熵喷管流动，当给定喷管入口处的滞止温度  $T_0$  和滞止压力  $P_0$  时，喷管的秒流量

$$G = C_D A_t P_0 \quad (14)$$

式中

$$C_D = \frac{\Gamma \sqrt{g}}{\sqrt{RT_0}}$$

但考虑摩擦时，流量  $G$  并不是通过喷管的实际流量，在计算之前，通过喷管的实际流量是未知的，故只能假定一个流量  $G_f$  来计算。

首先，我们由假定的流量  $G_f$  重新确定燃烧室压力  $P_c$ 。当不计装药通道中的流动效应时，

$$P_c = \left( \frac{G_f}{\gamma_p b A_b} \right)^{\frac{1}{n}} \quad (15)$$

设  $G_f$  等熵流过一个“虚拟”喷管，该虚拟喷管的入口尺寸与实际喷管相同，但喉部尺寸不同。设虚拟喷管的喉部半径为  $y_K$ ，则由等熵流流量公式

$$y_K = \sqrt{\frac{G_f}{C_D P_c \pi}} \quad (16)$$

代(15)入(16)得

$$y_K = \sqrt{\frac{(\gamma_p b A_b)^{\frac{1}{n}}}{C_D \pi}} \cdot G_f^{\frac{n-1}{2n}} \quad (17)$$

于是，根据入口截面与虚拟喷管喉部截面的面积比  $\frac{A_c}{A_k} \left( = \frac{y_c^2}{y_k^2} \right)$ ，便可按等熵流动关系式确定喷管入口处的燃气流动参数。

由给定流量  $G_f$  计算出边界条件后，即可对计算方程组进行数值解。

## 六、关于流量迭代

然而，所假定的流量  $G_f$  也不一定就是通过摩擦喷管的实际流量，实际流量需要通过流量迭代计算来确定。

如果给定流量  $G_f$  的计算结果满足喉部条件(12)，则  $Z$  沿喷管轴向的变化如图2(a)所示， $M = 1$  时， $Z = 0$ ， $\frac{dZ}{dx} = 0$ ，这说明  $G_f$  是通过摩擦喷管的实际流量。

当  $G_f$  不满足喉部条件(12)时，如图2(b)所示， $Z$  和  $M$  沿喷管轴向的变化有两种情况：

1. 曲线 1 表明，虽然  $M = 1$  时  $Z = 0$ ，但  $\frac{dZ}{dx} \neq 0$ ，这是由于喷管入口处流速太大造成的。为了满足喉部条件，应减小入口处的气流速度。

由于燃速指数  $n$  总是小于 1 的，由(17)式可知，当  $G_f$  增加时， $y_k$  减小，使面积比  $\frac{A_c}{A_k}$  增大， $M_c$  减小，喷管入口处的流速减小。所以，为了减小入口处的流速，反而应当增加通过喷管的流量。

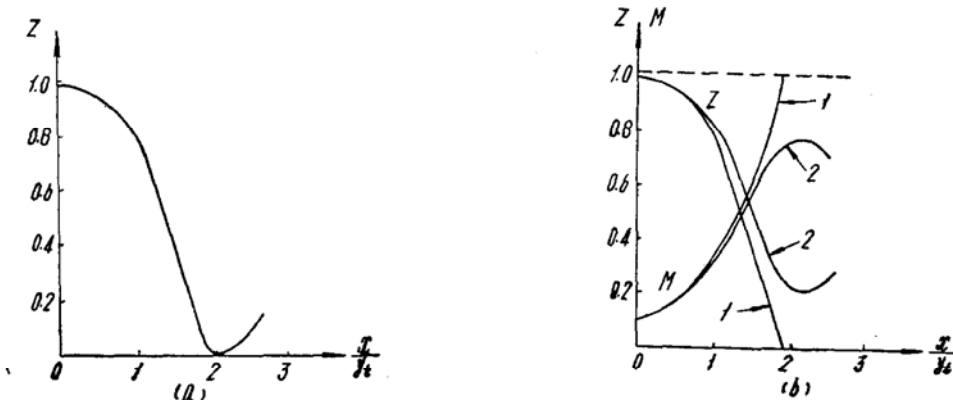


图 2  $Z$  沿喷管轴向的变化

2. 曲线 2 表明，整个喷管中的流动均为亚音速流动，这时根本就不存在音速点。气流  $M$  数的变化是先增大，而后又减小。这是由于入口处流速太小造成的。为了满足喉部条件，应增大入口处的流速，即要减小喷管流量。所以，计算中如果出现后一步长的  $M$  数小于前一步长的  $M$  数(即当  $M_{i+1} < M_i$  时)，就应减小流量重新计算边界条件。

计算中，我们就用上述两种情况来判断流量的增减，并用对分区间法确定流量增减的多少，直到满足喉部条件为止。

令

$$C = \frac{G_f}{G}$$

我们把  $C$  叫做摩擦喷管的流量修正系数。取  $C$  的初始变化区间为  $\Delta C$ (比如，取  $\Delta C = 0.002$ )，根据对分区间法的特点，我们还可把  $\left| \frac{\Delta C}{2^m} \right| \leq \epsilon$  作为终止流量迭代的判据。此处， $m$  为迭代计算的次数， $\epsilon$  为所给定的计算精度(比如，取  $\epsilon = 10^{-7}$ )。

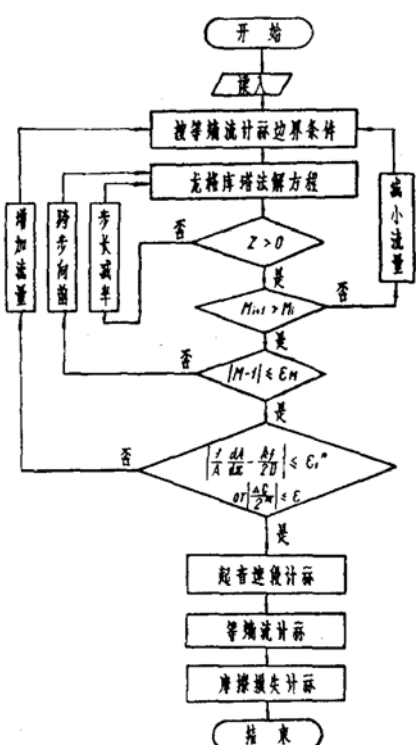


图 3 计算框图

\* 注:  $\epsilon_1$  为给定的计算精度,  
比如取  $\epsilon_1 = 10^{-8}$ 。

从上面的分析可知,为了检验给定的流量  $G_f$  是否满足喉部条件,先要找到音速点。同时,由于亚音速和超音速段的计算方程(10)不同,所以计算中也必须找到音速点。对于图 2(a)及图 2(b)中曲线 1 所示的情况,当计算到  $M$  接近于 1 时,都会因计算步长过大而出现  $Z < 0$ ,这时,因出现负数开方而使计算不能继续进行,因而捕捉不到音速点。所以,计算中只要出现  $Z < 0$ ,我们就将步长减半而对这一步重新计算,用改变步长的方法向  $M = 1$  点逼近,直到该点的  $M$  数满足  $|M - 1| \leq \epsilon_M$  为止( $\epsilon_M$  为给定的计算精度,比如取  $\epsilon_M = 10^{-5}$ )。

数值求解过程计算框图如图 3 所示。

## 七、算 例

某固体火箭发动机喷管如图 1 所示。收敛段与扩张段均为锥形,几何喉部处采用圆弧过渡。 $\frac{\rho_t}{y_t} = 1.481$ ,

$\frac{y_c}{y_t} = 2.459$ ,  $\frac{y_e}{y_t} = 5.393$ ,  $\frac{L}{y_t} = 15.827$ ,  $\alpha = 18^\circ$ ,  
 $\beta = 45^\circ$ ,  $K = 40$  微米。  $T_0 = 2775^\circ K$ ,  $P_0 = 45$  公斤/厘米<sup>2</sup>,  
 $k = 1.21$ ,  $\gamma_p = 1.742$  克/厘米<sup>3</sup>,  $\bar{M} = 25.08$ ,  $n = 0.2656$ ,  
 $b = 0.2391$  厘米/秒,  $A_b = 37426$  厘米<sup>2</sup>。

### 1. 燃气参数沿喷管长度的分布

图 4~图 7 分别示出了  $V$ ,  $T$ ,  $P$ ,  $P_s$ ,  $\rho$  沿喷管长度的分布。由图可见,气流速度沿喷

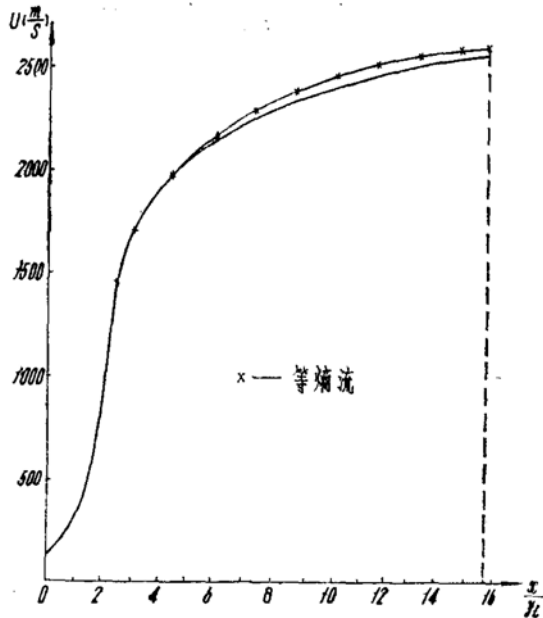


图 4 流速沿喷管分布

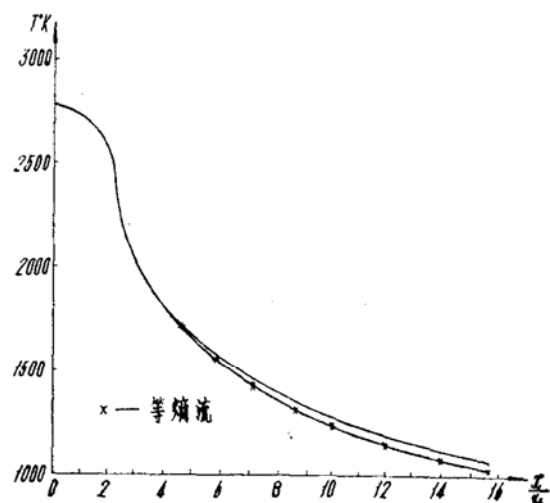


图 5 温度沿喷管分布

管增大，温度、压力及密度沿喷管降低。其变化率在跨音速区最大。由于气体要克服摩擦力作功使其动能损失，摩擦功转变成热又加给气体，所以，与不计摩擦的等熵流动比较，气流速度减小，温度升高。而且这些参数的偏差主要发生在超音速区。由于摩擦的影响，喷管排气速度减小1.6%，排气面上温度升高5.5%，压力增大2.2%，密度降低3.0%。

由于摩擦，燃气在喷管中的流动是一个不可逆的增熵过程，其总压降低。由图6可见，在跨音速区总压急剧下降。与不计摩擦时的等熵流动相比，排气面上总压损失25.5%。

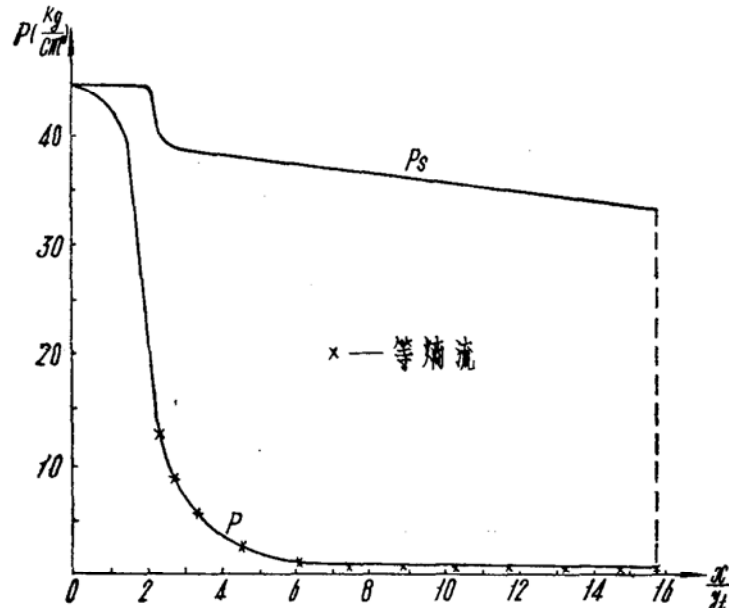


图6 压力沿喷管分布

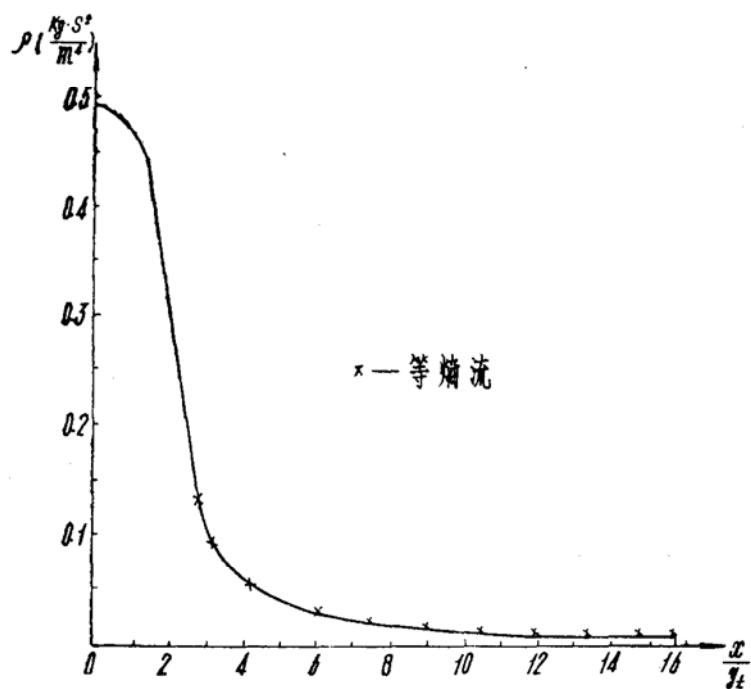


图7 密度沿喷管分布

图8示出了气流马赫数的变化。 $M = 1$ 位于喷管几何喉部的下游，这主要是由于摩擦的作用提高了气体的温度，使音速增大；另一方面，摩擦减小了气流速度，使得气流在几何喉部处 $M$ 小于1。计算表明，摩擦系数越大，临界截面的位置就越移向喷管下游。

摩擦系数 $f$ 沿喷管的分布示于图9中。由图可见，在亚音速区 $f$ 增加，至临界截面附近达到最大值，超音速区 $f$ 又逐渐减小。图中还示出了不同 $K$ 值下 $f$ 的分布，当 $K$ 增大时， $f$ 增大。可见，喷管内型面的表面粗糙度对 $f$ 有较大影响，为了减小摩擦损失，应适当提高内壁面，特别是喉部区域的表面光洁度。

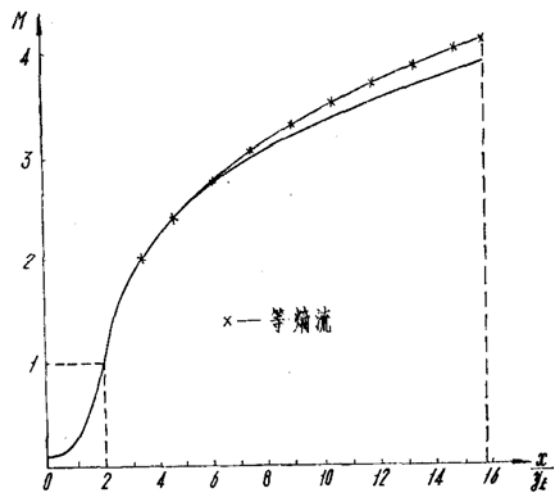


图8  $M$ 数沿喷管分布

$$\left( \frac{x_t}{y_t} = 1.98 \right)$$

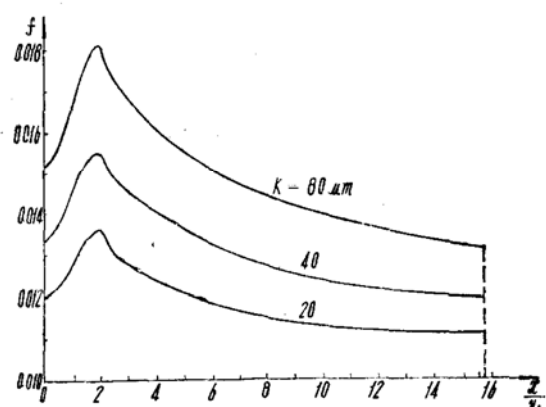


图9 摩擦系数沿喷管分布

## 2. 摩擦对燃烧室压力和流量的影响

计算结果表明，考虑喷管摩擦时得到的燃烧室压力和流量要比按等熵流计算的大。而且摩擦越大，燃烧室压力和流量越大。图10、图11分别示出了 $K$ 值对燃烧室压力和流量的影响。

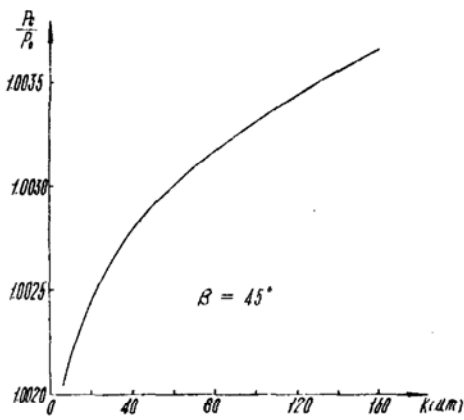


图10  $K$ 对燃烧室压力的影响

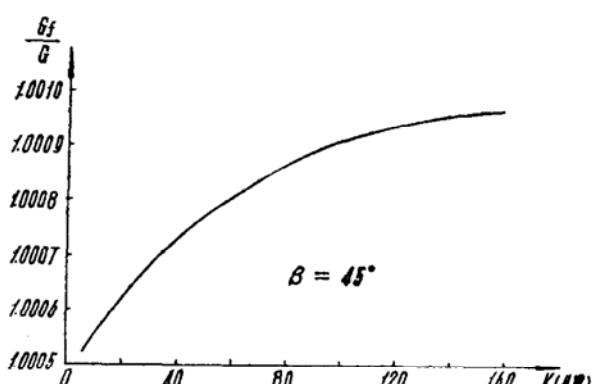


图11  $K$ 对流量的影响

对于锥形收敛段来说，流量还与收敛角有关。表1列出了三种收敛角下的流量修正系数 $C$ 。由表1可见，收敛角小者流量系数稍大。

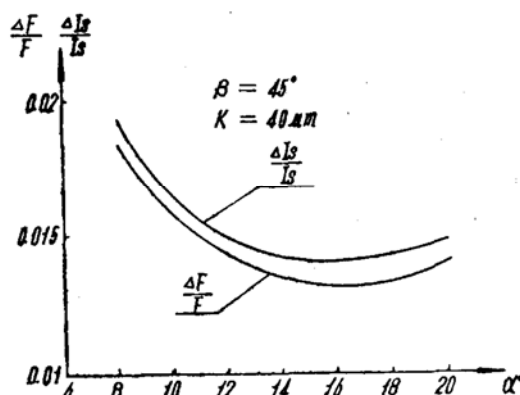
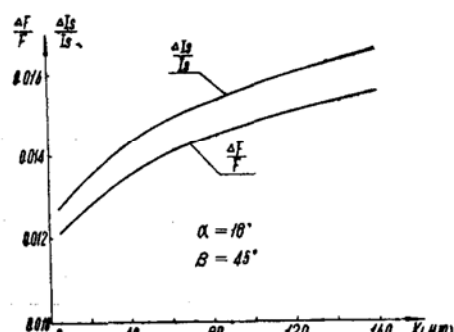
表 1

| 序号 | $\beta$ | $C = G_f/G$ |
|----|---------|-------------|
| 1  | 30°     | 1.000761    |
| 2  | 45°     | 1.000726    |
| 3  | 58°     | 1.000717    |

### 3. 摩擦损失

由于摩擦的影响，实际喷管的排气速度比按等熵流计算的小，造成推力和比冲的损失。在本例题中，真空推力损失1.36%，真空比冲损失1.44%。图12、图13中分别示出了真空推力和真空比冲损失与锥形喷管扩张半角 $\alpha$ 及表面粗糙度K的关系。在相同膨胀比下，当 $\alpha$ 减小时，一方面喷管增长，摩擦引起的排气速度损失增大；另一方面，排气面上压力提高。所以，推力和比冲损失是先略有减小而后增大，在 $\alpha = 16^\circ$ 左右损失最小。 $K$ 大则 $f$ 大，使摩擦损失增大。

因为计及摩擦时流量增大，所以摩擦造成的比冲损失比推力损失稍大一些。

图 12  $\alpha$  角对推力和比冲损失的影响图 13  $K$  对推力和比冲损失的影响

### 4. 几点看法

通过对上述计算结果的分析，可得到下面几点看法：

- 1) 由于摩擦的影响，喷管中气流速度减小，温度升高，总压降低，但总温不变；
- 2) 考虑喷管摩擦时所得到的燃烧室压力和流量比按等熵流计算的稍大；
- 3) 摩擦使推力和比冲损失约1~2%，而且比冲损失比推力损失大；
- 4) 流量与 $K$ 值及 $\beta$ 角有关；推力和比冲损失与 $\alpha$ 角及 $K$ 值有关；
- 5) 由于摩擦的影响，实际喷管的性能与按等熵流关系式算出的不同。但由于它和等熵流的偏差通常较小，所以常用的设计方法就以等熵流公式为基础，引入经验系数来修正。

### 参 考 资 料

- (1) 可压缩流的动力学与热力学(上册) A.H. 夏皮罗 科学出版社 1978
- (2) 固体推进剂火箭发动机的基本问题 京固群译 国防工业出版社 1976
- (3) 固体火箭发动机设计基础(上册) 长沙工学院 1976
- (4) 固体火箭发动机 (苏)A.M. 维尼茨基 国防工业出版社 1981
- (5) Rocket Propulsion Elements 4th Edition P.Sutton 1976